МИНОБРНАУКИ РОССИИ

Федеральное государственное бюджетное образовательное учреждение высшего профессионального образования «САРАТОВСКИЙ НАЦИОНАЛЬНЫЙ ИССЛЕДОВАТЕЛЬСКИЙ ГОСУДАРСТВЕННЫЙ УНИВЕРСТИТЕТ ИМЕНИ Н.Г. ЧЕРНЫШЕВСКОГО»

Кафедра биохимии и биофизики

НЕКОТОРЫЕ АСПЕКТЫ ПРИМЕНЕНИЯ ЗОЛОТЫХ НАНОЧАСТИЦ В БИОЛОГИЧЕСКИХ ИССЛЕДОВАНИЯХ

АВТОРЕФЕРАТ БАКАЛАВРСКОЙ РАБОТЫ

студентки 4 курса 421 группы направления 06.03.01 Биология биологического факультета Урюпиной Татьяны Андреевны

Научный руководитель:		
канд. биол. наук, доцент		Е.С. Тучина
	(подпись, дата)	
Научный консультант:		
канд. биол. наук, н.с.		
лаборатории нанобиотехнологии		
ИБФРМ РАН		Т.Е. Пылаев
	(подпись, дата)	
Заведующий кафедрой:		
доктор биол. наук, профессор		С.А. Коннова
	(подпись, дата)	

Введение. Наночастицы золота в сочетании с нуклеиновыми кислотами, ДНК (ЗНЧ–ДНК), используются главным образом широко ДЛЯ внутриклеточной доставки генетических векторов и зондов, улучшения технологии анализа ПЦР, для разработки методов генетической диагностики (обнаружения ДНК-мишени) [1, 2]. Водородные связи нуклеиновых кислот обеспечивают специфичность и точность, необходимые для использования ДНК ЗНЧ в качестве биосенсоров. Известны две основные стратегии получения комплексов ЗНЧ–ДНК использование ковалентного сшивания тиолмодифицированных олигонуклеотидных зондов на поверхности ЗНЧ или основанное на взаимодействии зондов ДНК и ЗНЧ по механизму физической адсорбции [3, 4]. Сравнительно высокая стоимость и трудоемкость процедуры получения конъюгатов ЗНЧ и модифицированных тиолом олигонуклеотидных зондов являются существенными недостатками в разработке сенсоров ДНК. Колориметрические методы, основанные на использовании немодифицированных ЗНЧ, являются одними из наиболее удобных для обнаружения ДНК в практических применениях, поскольку они достаточно чувствительны – даже пикомолярные концентрации целевой ДНК легко обнаруживаются невооруженным глазом. Однако разработка новых ДНКтестов требует тщательной пошаговой оптимизации отдельных параметров коллоидных наночастиц.

Агрегация ЗНЧ приводит к контрастному изменению цвета растворов с красного на фиолетовый и сопровождается значительными изменениями в спектрах экстинкции и рассеяния из-за оптического взаимодействия частиц в кластерах [2]. Таким образом, агрегационные свойства ЗНЧ играют основную роль во всех вариантах колориметрического анализа ДНК. Максимум поглощения на длине волны плазмонного резонанса около 520 нм определяет ярко-красный цвет ЗНЧ. При агрегации по типу физической адсорбции отсутствие спектральных изменений при добавлении некомплементарной ДНК подтверждает специфичность реакции и зависимость степени агрегации от мутаций. Было ssДНК, точечных предложено использование зонда

немодифицированных частиц ЗНЧ и положительно заряженных полиэлектролитов для обнаружения молекул ДНК. Наряду с изменениями цвета (спектры поглощения и рассеяния) агрегацию ЗНЧ можно обнаружить по изменениям силы света флуоресцентных меток, связанных с ДНК—зондом или в растворе. Образование агрегатов ЗНЧ может быть исследовано методом динамического рассеяния света (ДРС), который характеризует размер частиц и агрегатов.

В фотодинамической терапии широко используются золотые наноклетки и нанооболочки, что обусловлено возможностью настройки ППР видимом и ближнем ИК спектре. Золотая нанооболочка представляет собой сферический слой золота вокруг заполненного или полого ядра. В данной области спектра биологические ткани и жидкости поглощают и рассеивают свет и обеспечивают ряд применений: фотодинамическая и фототермическая терапия, лазерная фототерапия раковых клеток и опухолей, адресная доставка антибиотиков и антител [5]. Значительная часть исследований в области применения в фотодинамической и фототермической терапии золотых наноклеток и нанооболочек осуществляется на бактериальных культурах. Для оценки жизнеспособности бактериальных клеток чаще всего используется подсчет колониеобразующих единиц. Такой метод является довольно чувствительным и недорогим, однако требующим много времени.

Актуальность темы бакалаврской работы определяется тем, что на данный момент при использовании немодифицированных ЗНЧ для экспрессметодов определения нуклеиновых кислот возникают проблемы, связанные с дороговизной оборудования, неточностями при работе с наночастицами квазисферической формы, так как использование ЗНЧ с низкой степенью полидисперсности и полиморфности имеет принципиальное значение при использовании метода ДРС для колориметрического анализа ДНК.

Исходя из вышесказанного, целью бакалаврской работы было выявление взаимодействия ДНК с золотыми наночастицами в растворах методами спектроскопии поглощения и динамического рассеяния света на примере

комплексов олигонуклеотидов и положительно заряженных наночастиц золота; определение цитотоксического влияния инфракрасного (ИК) лазерного излучения на комплексы бактерий и наночастиц.

Для достижения поставленной цели в работе решались следующие задачи исследования:

- провести анализ работ, посвященных исследованию различных типов синтеза и стабилизации ЗНЧ, применения ЗНЧ–ДНК комплексов для использования ЗНЧ в качестве биосенсоров, фотосенсибилизирующих агентов;
- исследуя влияние размера, формы и поверхностного заряда ЗНЧ на воспроизводимость колориметрического ДНК-теста, провести детальную оптимизацию параметров комплексов положительно заряженных ЗНЧ и ДНК для применения в детектировании коротких фрагментов ДНК;
- определить чувствительность и специфичность оптимизированного ДНК-теста на основе немодифицированных положительно заряженных ЗНЧ с вариантами детекции методами спектроскопии поглощения и динамического рассеяния света;
- установить цитотоксическое действие ИК лазерного излучения на комплексы золотых наноклеток и нанооболочек и бактерий.

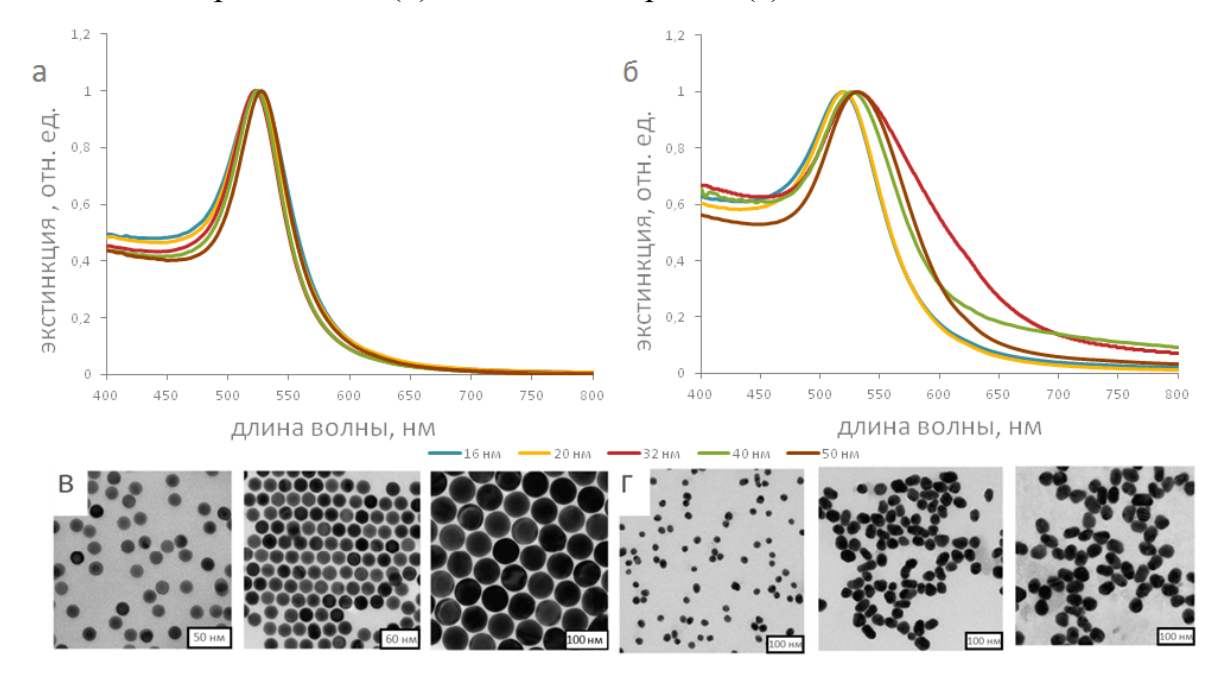
Работа состоит из введения, основной части, содержащей 3 главы, заключения, выводов и списка использованных литературных источников (93 наименования). Работа изложена на 50 страницах, иллюстрирована 9 рисунками и включает 2 таблицы.

Основное содержание работы.

Характеристика золотых наночастиц

Наиболее распространенный протокол получения золотых наносфер по методу Френса позволяет получать ЗНЧ квазисферической формы, для которых характерно уширение спектра и несоответствие положения и интенсивности спектрального пика расчетным значениям, как это можно увидеть на рисунке 1,б. Метод доращивания «зародышей», предложенный [Ошибка! Закладка не определена.], позволяет получать монодисперсные образцы ЗНЧ

идеальной сферическую форму, и контролировать размер частиц в широком диапазоне от 10 до 150 нм (рисунок 1,а). На рисунке 1 показаны ТЭМ изображения наночастиц различных диаметров, полученных методикой доращивания «зародышей» (в) и методом Френса (г).



а – спектры экстинкции ЗНЧ; б - спектры экстинкции КЗ; в - ТЭМ изображения ЗНЧ; г - ТЭМ изображения КЗ

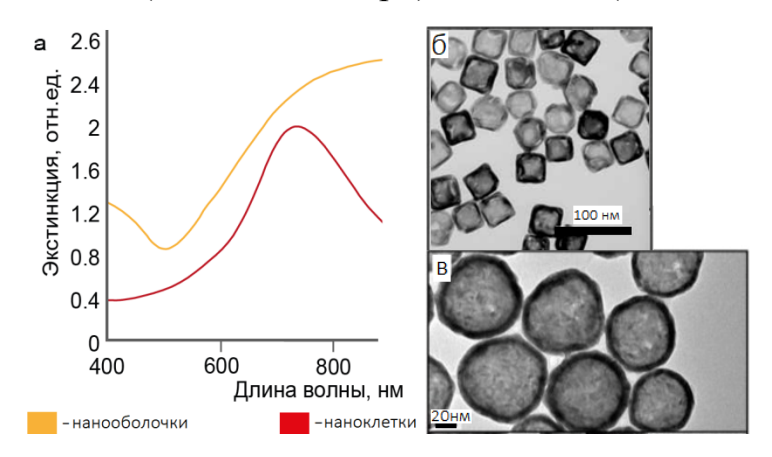
Рисунок 1 – Оптические свойства наночастиц (d=16, 20, 32, 40 и 50 нм)

Использование образцов низкой наночастиц c степенью полидисперсности и полиморфности имеет принципиальное значение. Также использование данной методики позволяет более точно определять размеры частиц только с помощью ДРС, т.к. удается избежать появление ложных пиков на гистограмме, связанное с вращательной диффузией квазисферических ЗНЧ, чем результаты ДРС согласовываются с данными Свежеприготовленные образцы ЗНЧ мы охарактеризовали методами ТЭМ и ДРС и получили значения средних размеров частиц: $15,7\pm0,6$ нм, $20,6\pm0,9$ нм, 31,7±1,1 HM.

Использование золотых наноклеток и нанооболочек обусловлено возможностью настройки ППР видимом и ближнем ИК спектре. Золотая нанооболочка представляет собой сферический слой золота вокруг заполненного или полого ядра. В данной области спектра биологические ткани

и жидкости поглощают и рассеивают свет и обеспечивают несколько применений.

Свежеприготовленные образцы ЗНЧ мы охарактеризовали методам ТЭМ и определили спектры экстинкции (рисунок 2) и получили значения средних размеров частиц: средний диаметр наноклеткок (Au–C) составил 53±5 нм, толщину стенки — 7±2 нм, диагональ — 78 нм. Средний размер нанооболочек (Au–S) составил 120±15 нм (силикатное ядро) и 20±7 нм (золотая оболочка).



а – спектры экстинкции ЗНЧ; б - ТЭМ изображения нанооболочек; в - ТЭМ изображения нанооболочек

Рисунок 2 – Оптические свойства золотых нанооболочек и наноклеток

Оптимизация колориметрического теста с положительно заряженными
золотыми наносферами

Средний диаметр частиц КЗ и ЗНЧ составлял 16, 20, 32, 40 и 50 нм. Концентрация золота свежеприготовленных растворов была эквивалентна 57 мкг/мл. Колориметрический тест с наносферами был оптимизирован по форме частиц, их коллоидной стабильности в гибридизационном буфере, по концентрации ЦТАБ и по минимальной концентрации молекул мишеней.

Свежеприготовленные коллоидные растворы ЗНЧ повторно центрифугировали и ресуспендировали в растворах ЦТАБ различных концентраций. Затем полученные препараты проверяли на коллоидную устойчивость путем приготовления смесей полученных ЗНЧ в воде и в гибридизационном буфере. Для каждой смеси регистрировали спектр

экстинкции. Все ЗНЧ от 20 до 50 нм не прошли тест на коллоидную стабильность – после добавления зонда они агрегировали.

На рисунке 3 представлены спектры поглощения ЗНЧ 16, ресуспендированных в растворе ЦТАБ с концентрациями 3 (а) и 5 мМ (б). Коллоидная стабильность ЗНЧ в растворах ЦТАБ с концентрациями 1 мМ, 3 мМ и 5 мМ была проверена при постоянной концентрации зонда. В результате для ЗНЧ 16 была найдена оптимальная концентрация ЦТАБ 5мМ.

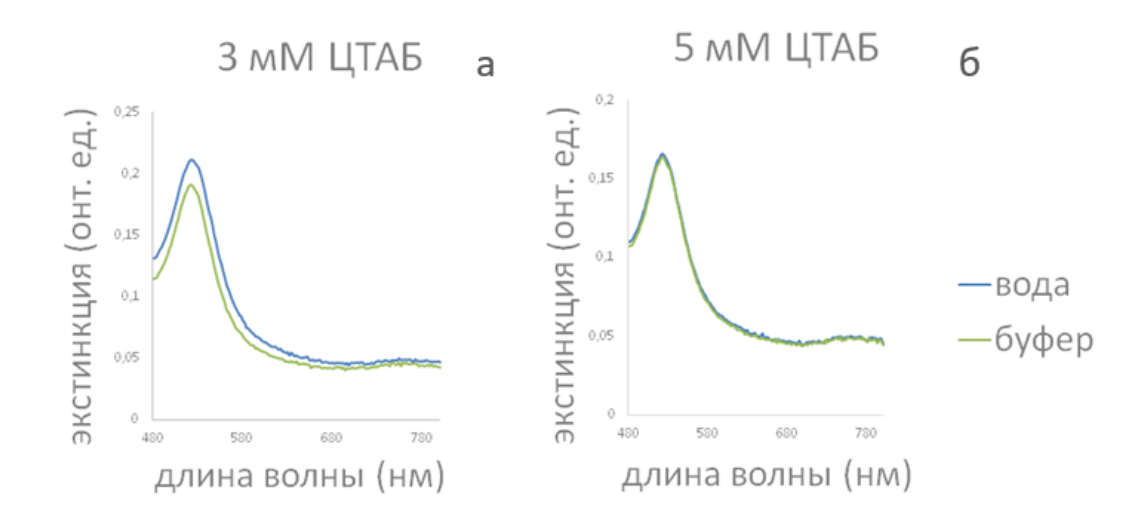
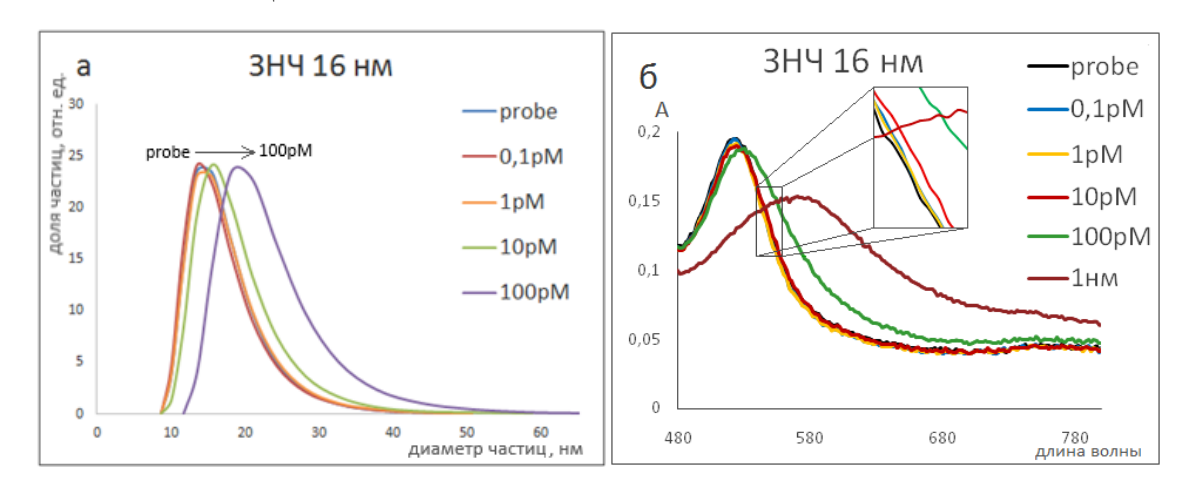


Рисунок 3 – Спектры экстинкции растворов 16 нм золотых наносфер

Для определения оптимальной концентрации раствора молекулымишени, приготовляли смеси растворов ЗНЧ, зондовой молекулы и молекулымишени (с финальными концентрациями от 0,1 рM до 1 гибридизационном буферном растворе (50 мМ Tris-HCl, pH 7.4; 1.2 M NaCl и вода Milli-Q В объемном соотношении 1:1:2). Для каждой смеси регистрировали спектр экстинкции. Важным условием выполнимости колориметрического теста является минимальная концентрация зондовой оцДНК, используемая для обнаружения кДНК мишени в области предела детекции.

Чувствительность и специфичность колориметрического и ДРС тестов Определение предела чувствительности колометрического теста проводили с разными концентрациями оцДНК-мишеней (100 пМ, 10 пМ, 1 пМ, 0,1 пМ). Чувствительность колориметрического определения ДНК-мишеней с

немодифицированными 16 нм золотыми наночастицами составляет 10 пМ (рисунок 4,6), а ДРС измерения более чувствительны с пределом обнаружения около 1 пМ (рисунок 4,a). Полученные результаты о пределах детекции представлены в таблице 1.



а - диаметр наночастиц; б - спектр экстинкции

Рисунок 4 — Зависимость интенсивности рассеяния от параметров 16 нм золотых наносфер

В случае использования модифицированных ЗНЧ тиолированными олигонуклеотидными зондами слабостью является высокая стоимость и техническая сложность введения тиольной модификации молекулы зонда, а также длительность получения конъюгатов. Для использования точечного теста требуется использование дорогостоящего оборудования. Колориметрические методы, основанные на использовании немодифицированных ЗНЧ [Ошибка! Закладка не определена.], являются одними из наиболее удобных для ДНК в практическом применении, так детекции как они чувствительны – даже пикомолярные концентрации ДНК мишеней легко обнаружить невооруженным глазом. Наши исследования были направлены на изучение условий применимости ЗНЧ для колориметрического детектирования молекул ДНК-мишеней и разработку нового метода колориметрической детекции олигонуклеотидов в растворе.

Средний диаметр наноклеткок (Au–C) составлял 60 нм; средний размер нанооболочек (Au–S) составлял 150 нм. Концентрация (Au–C) и (Au–S) в

растворах составляла $\sim 10^{10}$ шт/мл и $\sim 10^{9}$ шт/мл соответственно. ППР Au–C локализован в области 750 нм; ППР Au–S – в области 850 нм.

Таблица 1 – Данные колориметрического анализа ДНК и диаметры ЗНЧ по данным ДРС

ЗНЧ,	ЦТАБ,	предел детекции ДНК		Лиомотр ЭШІ
HM	мМ	UV-vis	ДРС	- Диаметр ЗНЧ
16	5	10 пМ	1 пМ	15,7±0,6
20	5	_	_	$20,6\pm0,9$
32	_	_	_	31,7±1,1
40	_	_	_	н.д.
50	_	-	_	н.д.

Примечание: н.д. – нет данных

Определение фототермической и цитотоксической активности

Было отмечено, что использование ИК лазерное излучения на микроорганизмы без добавления к ним наночастиц не приводит к значительному угнетению роста. Обработка бактериальных клеток золотыми наноклетками в сочетании с инфракрасным лазерным излучением с длиной волны 808 нм (60 мВт/см²) приводила к снижению численности *S. aureus* 209 Р на 15% после 5 мин воздействия, на 19% после 10 мин, на 25% после 15 мин, на 50% после 30 мин (рисунок 5). За все время облучения температура раствора, содержащего бактериальные клетки и золотые нанооболочки возросла на 5°C (таблица 2).

При воздействии излучения с длиной волны 805 нм (46 мВт/см²) на *S. aureus* 209 Р, проинкубированные с золотыми наноклетками, отмечено сокращение числа КОЕ на на 38% после 5 мин воздействия, на 47% после 10 мин, на 50% после 15 мин, на 70% после 30 мин (рисунок 6). При этом увеличение температуры раствора, содержащего *S. aureus* 209 Р и золотые наноклетки, отмечено на 3°С (таблица 2).

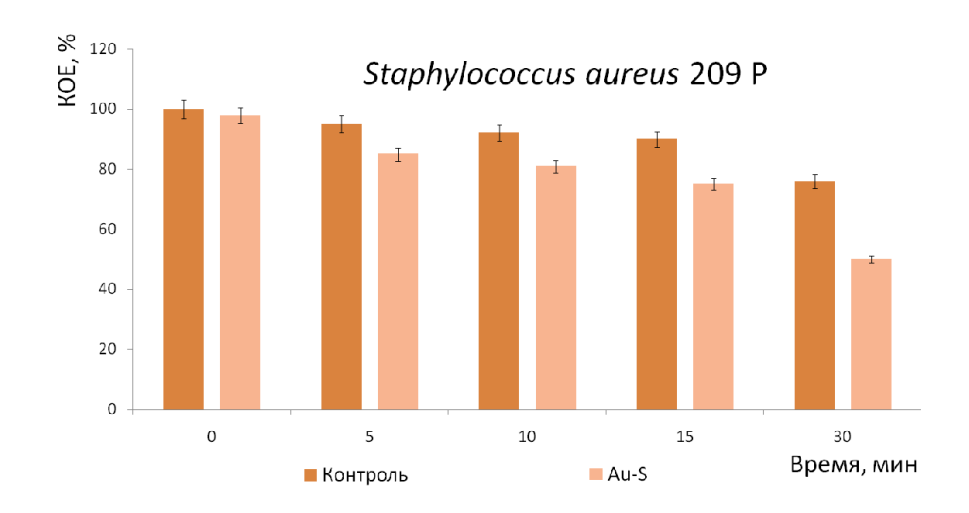


Рисунок 5 — Влияние ИК лазерного излучения (805 нм) на бактерии, обработанные золотыми нанооболочками (Au–S)

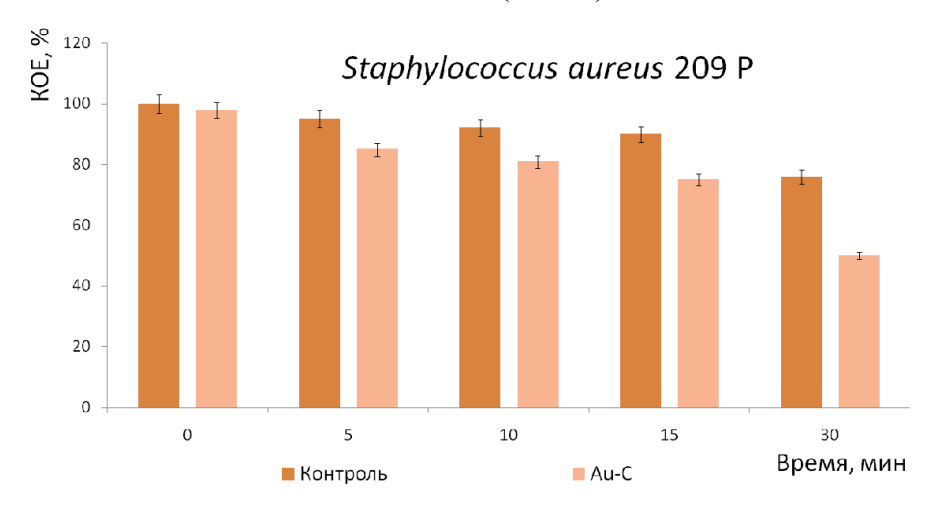


Рисунок 6 — Влияние инфракрасного лазерного излучения (808 нм) на бактерии, обработанные золотыми наноклетками (Au-C)

Таблица 2 – Изменение температуры взвеси, содержащей *S. aureus* 209 P, при воздействии инфракрасного лазерного излучения

	T°C				
Время, мин	808 нм		805 нм		
_	ИК	ИК+Аи-С	ИК	ИК+Au–S	
0	22	22	22	22	
5	23	23,5	23	24	
10	23	24,5	23	25	
15	23	25	23	25	
30	23	28	23	26	
$\Delta T^{o}C$	1	6	1	4	

В заключении и выводах подведены итоги экспериментов.

- 1. Анализ литературных источников показал, что на данный момент существует недостаточное количество работ, посвященных решению проблемы влияния размеров ЗНЧ на воспроизводимость колориметрического теста ДНК.
- 2. Метод динамического рассеяния имеет большую чувствительность в определении ДНК-мишеней по сравнению со спектроскопией поглощения. Соответствующие минимальные концентрационные пределы детектирования 1 пМ и 10 пМ при объеме пробы порядка 100 мкл.
- 3. В отличие от квазисферических наночастиц, частицы с идеальной сферической формой практически непригодны для колориметрического теста вследствие их низкой коллоидной стабильности.
- 4. Наибольшую эффективность при антимикробном фототермическом воздействии показало сочетание лазерного ИК излучения (805 нм, 46 мВт/см²) и золотых нанооболочек снижение числа КОЕ отмечено на 68%.

Список использованных источников

- Oligonucleotide-modified gold nanoparticles for intracellular gene regulation /
 N.L. Rosi [et al.] // Science. 2006. V. 312. P. 1027-1030.
- 2. Gold nanoparticle-assisted polymerase chain reaction: effects of surface ligands, nanoparticle shape and material / E.V. Vanzha [et al.] // RSC Adv. -2016. V. 6. P. 110146-110154.
- 3. A DNA-based method for rationally assembling nanoparticles into macroscopic materials / C.A. Mirkin [et al.] // Nature. 1996. V. 382. P. 607-609.
- 4. Li, H., Rothberg, L. Colorimetric detection of DNA sequences based on electrostatic interactions with unmodified gold nanoparticles / H. Li, L. Rothberg // Proceedings of the National Academy of Sciences. 2004. V. 101, N. 39. P. 14036-14039.
- 5. Boisselier, E., Astruc, D. Gold nanoparticles in nanomedicine: preparations, imaging, diagnostics, therapies and toxicity / E. Boisselier, D. Astruc // Chem. Rev. 2009. V. 38. P.1759-1782.